

Экспериментальные оценки структурной характеристики показателя преломления оптических волн в приземном слое атмосферы

В.А. Гладких, В.П. Мамышев, С.Л. Одинцов*

Институт оптики атмосферы им. В.Е. Зуева СО РАН
634021, г. Томск, пл. Академика Зуева, 1

Поступила в редакцию 5.02.2015 г.

Рассматриваются результаты анализа структурной характеристики показателя преломления оптических волн C_n^2 в приземном слое атмосферы, вычисляемой по структурной характеристике температуры воздуха C_T^2 . Приводятся результаты сопоставления оценок C_n^2 на основе оптического дифференциального измерителя турбулентности и ультразвуковых анемометров-термометров. Отмечается систематическое различие этих оценок при высокой степени корреляции. Получен и проанализирован средний суточный ход C_n^2 в различные сезоны года на территориях с естественным ландшафтом и на урбанизированной территории.

Ключевые слова: показатель преломления, приземный слой атмосферы, структурная характеристика, суточный ход, ультразвуковой анемометр-термометр; refractive index, surface air layer, structure parameter, diurnal behavior, ultrasonic anemometer-thermometer.

Введение

Одним из важных факторов, существенно влияющих на распространение оптического излучения в атмосфере, являются неоднородности показателя преломления. Случайные составляющие показателя преломления определяются в основном турбулентными пульсациями плотности воздуха, связанными, в свою очередь, с пульсациями температуры. Поскольку температура воздуха, в отличие от его плотности, может быть непосредственно измерена, то показатель преломления и его флуктуации вычисляются на основе результатов диагностики температурного поля. Широко распространенный параметр, характеризующий величину случайных неоднородностей показателя преломления, — структурная характеристика C_n^2 . Данная величина появляется при параметризации структурной функции показателя преломления и активно используется в различных теоретических и прикладных задачах. Структурная характеристика C_n^2 пропорциональна структурной характеристике температурного поля C_T^2 , поэтому выводы по закономерностям какой-либо из этих величин можно с определенной долей уверенности применять и к другой величине.

Анализ величин C_n^2 и/или C_T^2 проводился и проводится многими исследовательскими группами в различных странах. Для примера можно указать ряд недавних публикаций, связанных с исследова-

нием характеристики C_n^2 в приземном (приводном) слое атмосферы. В частности, в [1] представлены результаты измерений этой величины в разных пунктах наблюдений в разные сезоны года с помощью сцинтилляционных детекторов (сцинтиллометров). Экспериментальные данные сравниваются с результатами модельных (прогностических) расчетов C_n^2 , в том числе в виде среднего суточного хода. В [2, 3] также приводятся результаты с суточным ходом C_n^2 на основе измерений сцинтиллометрами на трассах длиной до нескольких километров. Отметим, кроме того, работу [4], где результаты локальной диагностики C_n^2 в летнее и зимнее время применяются для анализа качества астрономического видения на территории Байкальской астрофизической лаборатории на площадке Большого солнечного вакуумного телескопа.

Помимо исследования непосредственно C_n^2 в ряде публикаций данная величина используется для определения структурной характеристики температурного поля C_T^2 , для оценок вертикального турбулентного потока тепла и в различных прогностических моделях (см., например, [5–8]). Закономерности вариаций C_T^2 , описанные в указанных работах, могут быть использованы и для интерпретации изменений C_n^2 .

Основная цель нашей статьи — анализ структурной характеристики C_n^2 , полученной на основе экспериментальных данных по температурным пульсациям в приземном слое атмосферы над урбанизированной территорией и над естественным ландшафтом. Главная задача заключалась в построении и анализе усредненного суточного хода C_n^2 в различные сезоны года.

* Владимир Александрович Гладких (glvl@iao.ru);
Владимир Петрович Мамышев (mvpr78@aoa.iao.ru); Сергей Леонидович Одинцов (odintsov@iao.ru).

Исходные соотношения

Прежде всего, приведем некоторые общие положения относительно структурных характеристик полей температуры и показателя преломления оптических волн. Структурная характеристика C_T^2 случайного температурного поля $T(\mathbf{R})$ является следствием параметризации соответствующей структурной функции

$$D_T(\mathbf{R}_1, \mathbf{R}_2) = \langle [T(\mathbf{R}_1) - T(\mathbf{R}_2)]^2 \rangle,$$

где $\mathbf{R}_2 = \mathbf{R}_1 + \mathbf{r}$, \mathbf{R}_1 и \mathbf{R}_2 – координаты точек измерения температуры (начало системы координат – произвольное), \mathbf{r} – соединяющий эти точки вектор. Угловые скобки обозначают осреднение по ансамблю реализаций. В предположении однородности (локальной однородности) и изотропии температурного поля структурная функция будет зависеть только от модуля вектора \mathbf{r} :

$$D_T(\mathbf{R}_1, \mathbf{R}_2) \Rightarrow D_T(r = |\mathbf{r}|).$$

Согласно теории Колмогорова–Обухова в случае статистически развитой турбулентности структурная функция может быть параметризована в некоторой области $l_0 \ll r \ll L_0$ в виде [9]:

$$D_T(r) = C_T^2 r^{2/3}. \quad (1)$$

Здесь C_T^2 – константа, $K^2 \cdot m^{-2/3}$; l_0 и L_0 – внутренний и внешний масштабы температурной турбулентности, м. Согласно (1) величина C_T^2 равна значению структурной функции при $r = 1$ м.

Проведенные нами ранее исследования показали [10, 11], что параметризация структурной функции температурного поля в форме (1) в приземном слое атмосферы с усложненной текстурой подстилающей поверхности выполняется лишь в редких случаях. На основе экспериментальных данных были получены уточненные параметризации $D_T(r)$, описывающие три различных типа структурных функций, включающие и параметризацию (1). В обобщенном виде эти параметризации имеют форму

$$D_T(r) \approx C_{Tp}^2 F(r). \quad (2)$$

Вид безразмерной функции $F(r)$ различен для разных типов. Однако для всех типов выполняются равенства $F(r = 1) = 1$ и $C_{Tp}^2 \approx D_T(r = 1)$, причем C_{Tp}^2 имеет размерность структурной функции температурного поля (K^2). Для подтверждения достоверности параметризации (2) сошлемся на работу [12], где приводятся результаты анализа структурных функций $D_T(r)$, полученных с использованием беспилотного летательного аппарата и ультразвуковых анемометров-термометров на метеорологической мачте. Эти данные демонстрируют, в том числе, закономерность $D_T(r)r^{-2/3} = G(r) \neq \text{const}$. Различие функций $G(r)$ для ультразвуковых измерителей и летательного аппарата при небольших значениях r авторы [12] объясняют инерционностью температурных датчиков последнего.

Структурная характеристика показателя преломления воздуха C_n^2 определяется по той же методике, что и структурная характеристика температурного поля. Случайные неоднородности показателя преломления воздуха для оптических волн связаны в основном со случайными неоднородностями температурного поля. Поэтому в случае развитой («колмогоровской») турбулентности параметризация структурной функции показателя преломления $D_n(r)$ подчиняется формуле, аналогичной (1). При этом связь между C_n^2 и C_T^2 задается формулой [13]:

$$C_n^2 = \kappa C_T^2. \quad (3)$$

Здесь C_n^2 имеет размерность $m^{-2/3}$; множитель $\kappa = \mu P^2 T^{-4}$ – размерность K^{-2} , величины T и P – средняя температура воздуха (К) и атмосферное давление (мбар) соответственно, $\mu = 6,241 \cdot 10^{-9}$ – размерная константа, $K^2 m^{-2}$. Формула (3) получена для длины волны красного света (0,66 мкм).

Согласно [13] можно положить, что $D_n(r) = \kappa D_T(r)$, поэтому если применяется уточненная параметризация структурной функции температуры воздуха (2), то и для структурной функции показателя преломления оптических волн будет справедлива подобная параметризация:

$$D_n(r) \approx \kappa C_{Tp}^2 F(r) = C_{np}^2 F(r), \quad (4)$$

где безразмерная величина C_{np}^2 определяется как $C_{np}^2 = \kappa C_{Tp}^2 \approx \kappa D_T(r = 1)$. В дальнейшем именно C_{np}^2 подвергается статистическому анализу.

Приборы и места проведения измерений, оценка достоверности результатов

В качестве измерительных приборов нами использовались ультразвуковые анемометры-термометры (далее УЗМ) типа «Метео-2» [14], обеспечивающие получение данных с частотой порядка 10 Гц. Помимо температуры воздуха и компонентов вектора ветра УЗМ измеряли атмосферное давление и относительную влажность воздуха. Это обеспечивало возможность оценивать абсолютные значения C_{np}^2 без привлечения каких-либо других приборов.

Измерения проводились на территориях с различными типами подстилающей поверхности. Один из пунктов наблюдения («Томск») располагался на урбанизированной территории: г. Томск, Академгородок, плоская крыша здания, высота мачты над крышей 5 м, общая высота УЗМ над подстилающей поверхностью 17 м. Два других пункта находились на территориях обсерваторий ИОА СО РАН «Фоновая» и «Базовый экспериментальный комплекс» («БЭК») с естественным ландшафтом (открытые поляны большой площади). Более подробно о структуре подстилающей поверхности на этих площадках можно узнать, например, в [11, 15]. Высота размещения УЗМ в основных сериях наблюдений со-

ставляла 5 и/или 10 м от уровня подстилающей поверхности (17 м на урбанизированной территории). Подробное изложение применяемой методики вычисления структурных функций температуры воздуха (следовательно, и структурной характеристики показателя преломления) приведено в работе [10].

Достоверность оценок C_{np}^2 проверялась путем сравнения их с результатами измерения величин C_n^2 оптическими средствами – дифференциальным измерителем турбулентности (ДИТ), разработанным в ИОА СО РАН. Методическая основа и технические характеристики ДИТ, а также сравнение акустических и оптических оценок C_n^2 опубликованы в работах [16–19]. Приведем некоторое обобщение имеющихся сравнений.

Прежде всего, отметим высокую степень корреляции C_n^2 и C_{np}^2 . Она превышает, как правило, значение 0,8. В качестве примера на рис. 1, *a* показаны C_n^2 и C_{np}^2 , полученные при измерениях 15.08.2014 г. на территории «БЭК». Коэффициент корреляции

в этом эпизоде составил 0,96. Как в данном примере, так и в других экспериментах имеет место систематическое отклонение величины C_{np}^2 , полученной с использованием УЗМ, по сравнению с величиной C_n^2 , полученной с помощью ДИТ. Высота оптической трассы (длина 100 м) составляла 1,65 м над подстилающей поверхностью, а высота УЗМ – 1,85 м. Точка размещения УЗМ находилась на расстоянии около 15 м от оптической трассы (примерно в ее середине). На рис. 1, *b* дано отношение C_n^2/C_{np}^2 для приведенного на рис. 1, *a* эпизода. В качестве дополнительных примеров этого отношения на рис. 1, *в*, *г* показаны результаты оценок для серии измерений летом 2013 г. [19]. Место и «геометрия» экспериментов были такими же (с несущественными различиями). На основе всех проведенных сравнений (суммарно около 20 ч) мы можем сделать вывод, что до 90% времени наблюдений выполняется неравенство $1 < C_n^2 / C_{np}^2 < 8$ при медианном значении этого отношения 3,8.

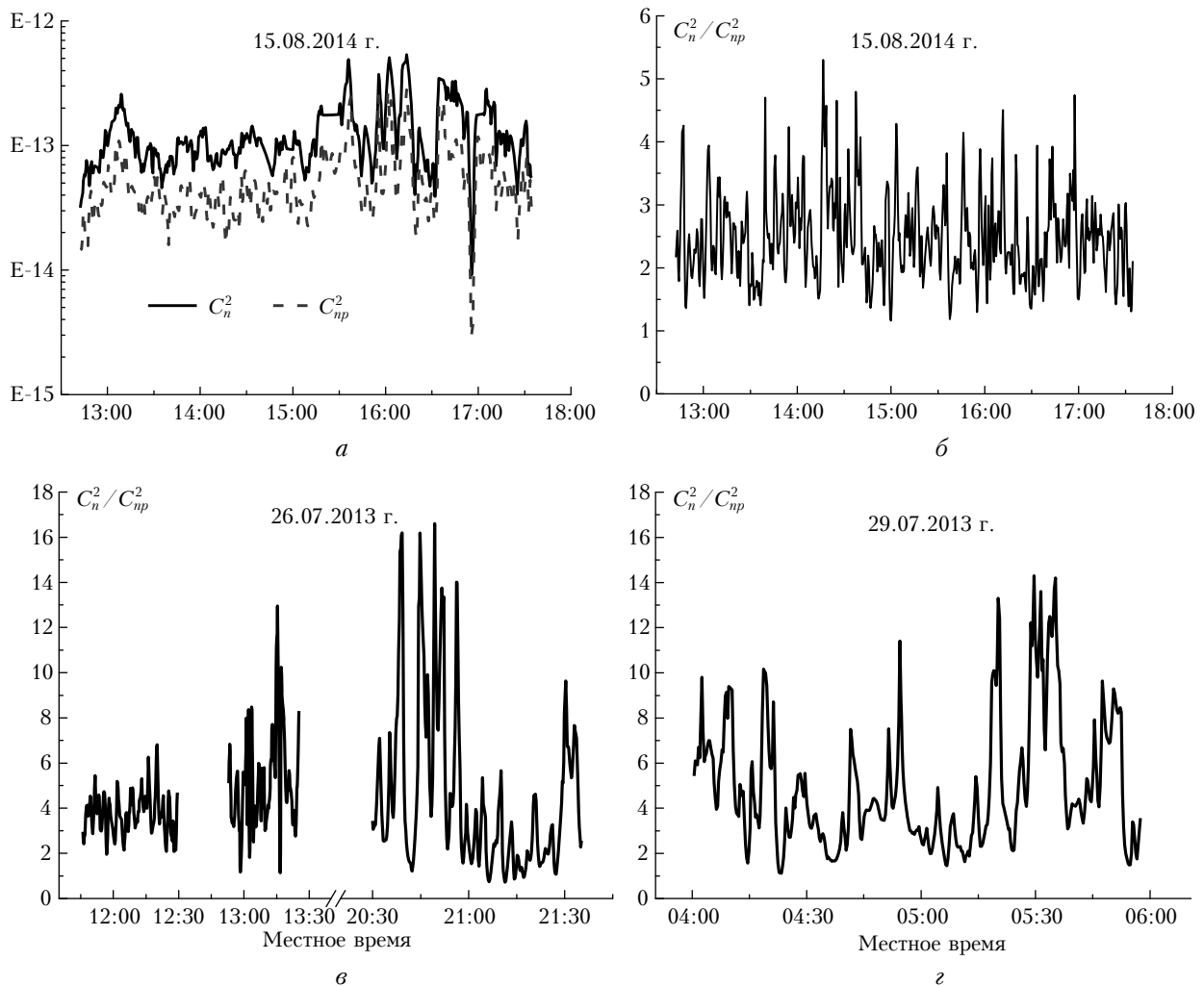


Рис. 1. Сравнение структурных характеристик показателя преломления воздуха, определенных с помощью оптических (сплошная линия) и акустических (штриховая линия) средств измерения (*а*); отношение этих характеристик в различные сроки наблюдения (*б*, *в*, *г*)

Следует также принять во внимание, что возможность представить структурные функции в виде (2) или (4), т.е. успешно их параметризовать, реализуется далеко не всегда. Это отмечалось в работе [10]. Как следствие, и адекватность собственно величин C_n^2 и C_{np}^2 в этих случаях может быть под сомнением.

Причины систематического отклонения C_{np}^2 от C_n^2 нами пока не установлены. Тем не менее высокая степень их корреляции на значительных интервалах времени, а также относительно устойчивое различие позволяют надеяться, что статистика величин C_{np}^2 , полученных с использованием УЗМ, будет хотя бы качественно отражать те закономерности, которые присущи «истинной» величине C_n^2 . Это является актуальным и потому, что оптические средства измерений структурной характеристики показателя преломления (в частности ДИТ) пока невозможно применять в сложных метеорологических условиях (низкие температуры, осадки) и в непрерывном круглогодичном режиме.

Результаты анализа

Поскольку УЗМ обеспечивает измерения «в точке», то для получения структурной функции приходится использовать временные ряды и вводить некоторые предположения, обеспечивающие выполнение равенства $D_n(r) = D_n(\tau)$. Здесь $\tau = r/\bar{V}$ — сдвиг во времени (r — сдвиг в пространственной области), \bar{V} — средняя скорость горизонтального ветра за интервал времени Δt . Основным условием, необходимым для выполнения этого равенства, является эргодичность выборки (процесса). Второе важное условие — статистические характеристики поля показателя преломления не изменяются в пространственной области, размеры которой меньше внешнего масштаба турбулентности L_0 . При обработке экспериментальных данных мы предполагали автоматическое выполнение указанных условий (без проверки). Это может вносить некоторое искажение в оценки, но в целом общая статистика остается прежней. Данный вывод сделан нами на основе анализа экспериментальных результатов при подготовке публикаций [10, 11].

Представленный далее материал по статистике величины C_{np}^2 был получен при длительности элементарного интервала обработки $\Delta t = 10$ мин. По этому интервалу также определялись средние значения скорости ветра, температуры воздуха и атмосферного давления, необходимые для определения C_{np}^2 по значениям C_{Tp}^2 .

Переходя непосредственно к изложению результатов анализа величины C_{np}^2 , рассмотрим ее средний суточный ход (ССХ) в различные месяцы года и в различных пунктах наблюдений. Отметим, что круглогодичные измерения были только в пунктах «Томск» и «БЭК». В пункте «Фоновая» измерения проводились лишь в теплое время года.

Средний суточный ход C_{np}^2 характеризует средние значения данной величины в одни и те же интервалы суток (например, в каждом часовом интервале) за какой-либо период. Мерой отклонения от среднего значения в каждом временном интервале за этот период является среднеквадратическое отклонение (СКО). В качестве примера на рис. 2, *a* приведено изменение C_{np}^2 за период 11–24.06.2014 г. в пункте наблюдения «Томск». Гистограмма значений $\lg(C_{np}^2)$ за этот период представлена на рис. 2, *b*.

В свою очередь, рис. 2, *c* демонстрирует распределение значений C_{np}^2 по времени суток на протяжении рассматриваемого эпизода. Каждая точка на этом рисунке соответствует значению C_{np}^2 , полученному по интервалу времени $\Delta t = 10$ мин. На рис. 2, *c* также показаны средние (арифметические) и медианные значения C_{np}^2 для каждого из часовых интервалов. В дальнейшем средний суточный ход C_{np}^2 будет определяться именно для средних значений. На рис. 2, *г* показаны ССХ C_{np}^2 за рассматриваемый период и соответствующие значения СКО в виде «полуотрезков».

Представленные далее ССХ C_{np}^2 вычислялись за периоды, соответствующие календарным месяцам года. В результате установлено, что вид ССХ C_{np}^2 существенно отличается в теплое и холодное время года. В частности, в теплое время имеются акцентированные экстремумы ССХ C_{np}^2 , как это демонстрирует рис. 2, *г*. В холодный период такие экстремумы отсутствуют. На рис. 3, *a* приведены ССХ C_{np}^2 в пункте наблюдений «Томск» для всех месяцев 2014 г., соответствующие им значения СКО даны на рис. 3, *б*. Согласно рис. 3, *а* с мая по октябрь 2014 г. ССХ C_{np}^2 имеет акцентированный максимум в дневное время. С другой стороны, с января по март и в ноябре–декабре явно выраженный суточный ход практически отсутствует. Апрель и ноябрь в пункте наблюдения «Томск» можно отнести к «переходному периоду» в режимах формирования суточного хода C_{np}^2 . Существенное превышение значений C_{np}^2 в зимнее время по сравнению с теплым периодом года связано с активным влиянием урбанизированной территории, формирующей значительные потоки тепла зимой в любое время суток. Среднеквадратические отклонения величины C_{np}^2 , приведенные на рис. 3, *б* и характеризующие степень ее вариации за обрабатываемый период, сравнимы с собственно величиной C_{np}^2 . При этом явно выраженного суточного хода СКО C_{np}^2 нет.

Представленные на рис. 3 данные о форме среднего суточного хода C_{np}^2 в разные месяцы 2014 г. являются типичными для пункта наблюдения «Томск». Этот вывод сделан на основе сравнения с измерениями в данном пункте в 2011–2013 гг. На рис. 4, *а* сравниваются ССХ C_{np}^2 для трех различных месяцев 2011–2014 гг. Среднеквадратические отклонения на этом рисунке не приводятся, поскольку они имеют типичные значения, показанные на рис. 3, *б*. Вычисления ССХ C_{np}^2 по результатам 2011–2012 гг. велись для интервалов времени 30 мин.

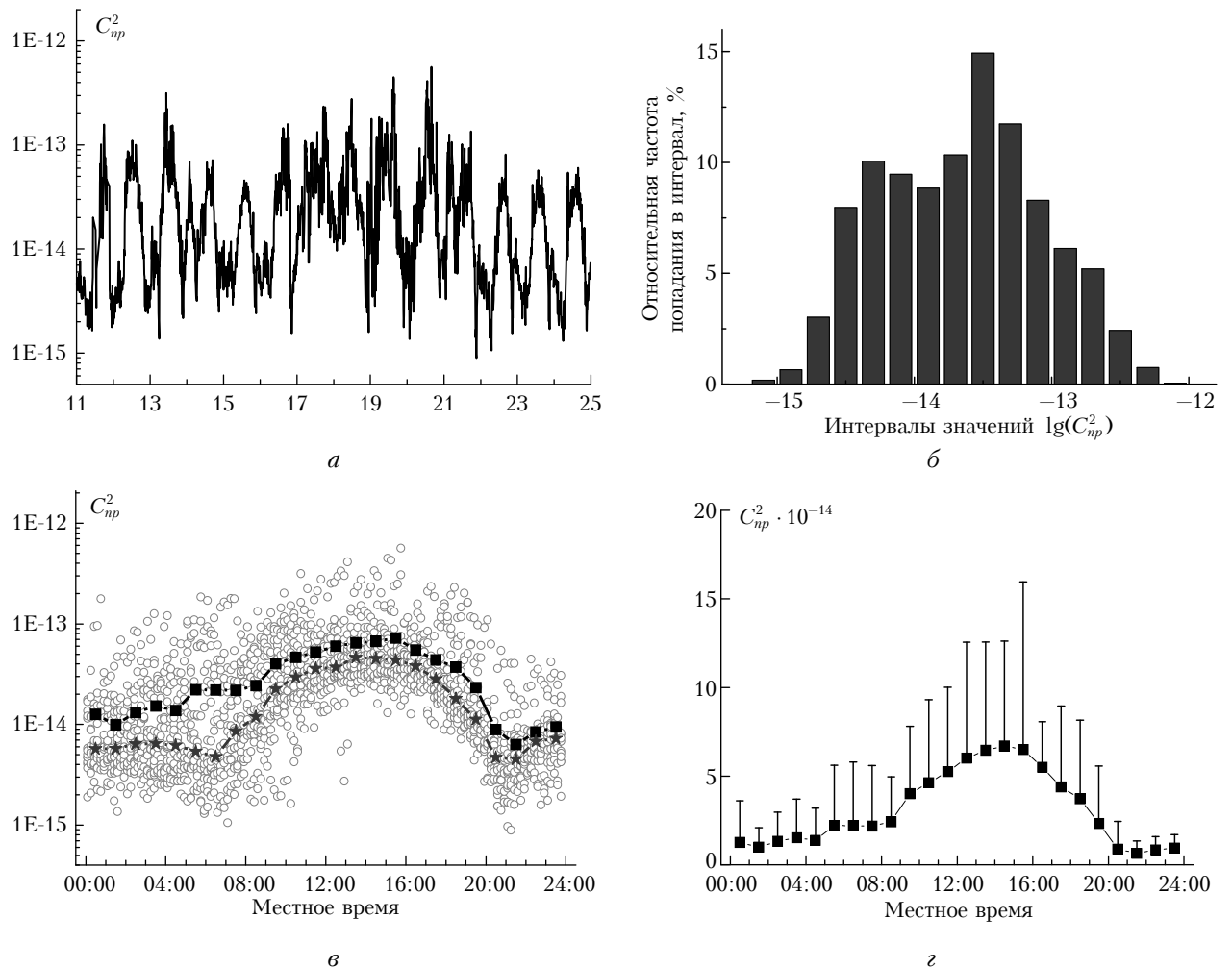


Рис. 2. Изменение величины C_{np}^2 за период 11–24.06.2014 г. в пункте наблюдения «Томск» (*a*); гистограмма логарифма C_{np}^2 за этот период (*б*); значения C_{np}^2 в различное время суток за этот период (открытые точки), а также средние (квадраты) и медианные (звездочки) значения в часовых интервалах (*в*); средние за часовой интервал значения C_{np}^2 с указанием СКО в виде «полуотрезков» (*г*)

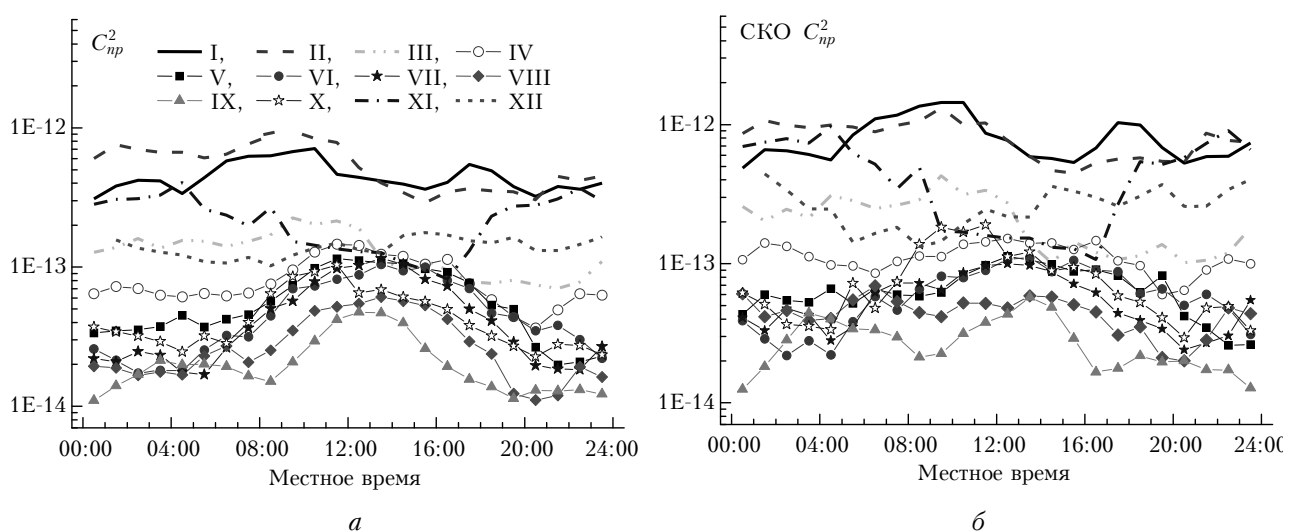


Рис. 3. Средние суточные ходы C_{np}^2 в разные месяцы 2014 г. в пункте наблюдения «Томск» (*а*) и соответствующие среднеквадратические отклонения (*б*)

Еще одним подтверждением высокой повторяемости C_{np}^2 в разные сезоны года может служить рис. 4, б, на котором показано изменение данной величины на протяжении 2011–2014 гг. в пункте наблюдения «Томск» (при построении этого графика применено сглаживание скользящим средним с временным «окном» 24 ч). Отметим, что помимо суточного хода C_{np}^2 в теплое время года имеется более медленная гармоника изменения данной величины, составляющая по предварительным оценкам примерно 9–10 сут. Ее наличие обусловлено, по-видимому, периодичностью смены воздушных масс. Подробный анализ данного факта нами пока не проводился.

Рассмотрим теперь ССХ C_{np}^2 в пунктах наблюдений, имеющих естественный ландшафт (территории обсерваторий ИОА СО РАН «Фоновая» и «БЭК»). Сезонные изменения ССХ C_{np}^2 над естественным

ландшафтом мы имели возможность исследовать только для пункта «БЭК» (высота измерений 5,7 м) и только в период с октября 2013 г. по сентябрь 2014 г. Сразу же отметим, что общие формы ССХ C_{np}^2 в этом пункте для разных сезонов года в целом согласуются с тем, что имеется в пункте «Томск» (над урбанизированной территорией). Однако их величины существенно отличаются. На рис. 5, а для подтверждения сделанных выводов сравниваются ССХ C_{np}^2 для нескольких месяцев в пунктах «Томск» и «БЭК». Среднеквадратические отклонения C_{np}^2 в пункте «БЭК» имеют такую же закономерность, как и в пункте «Томск», — по величине они примерно равны или немного превышают собственно значения C_{np}^2 .

Отметим две важные особенности среднего суточного хода C_{np}^2 , различающие пункты «БЭК» и «Томск».

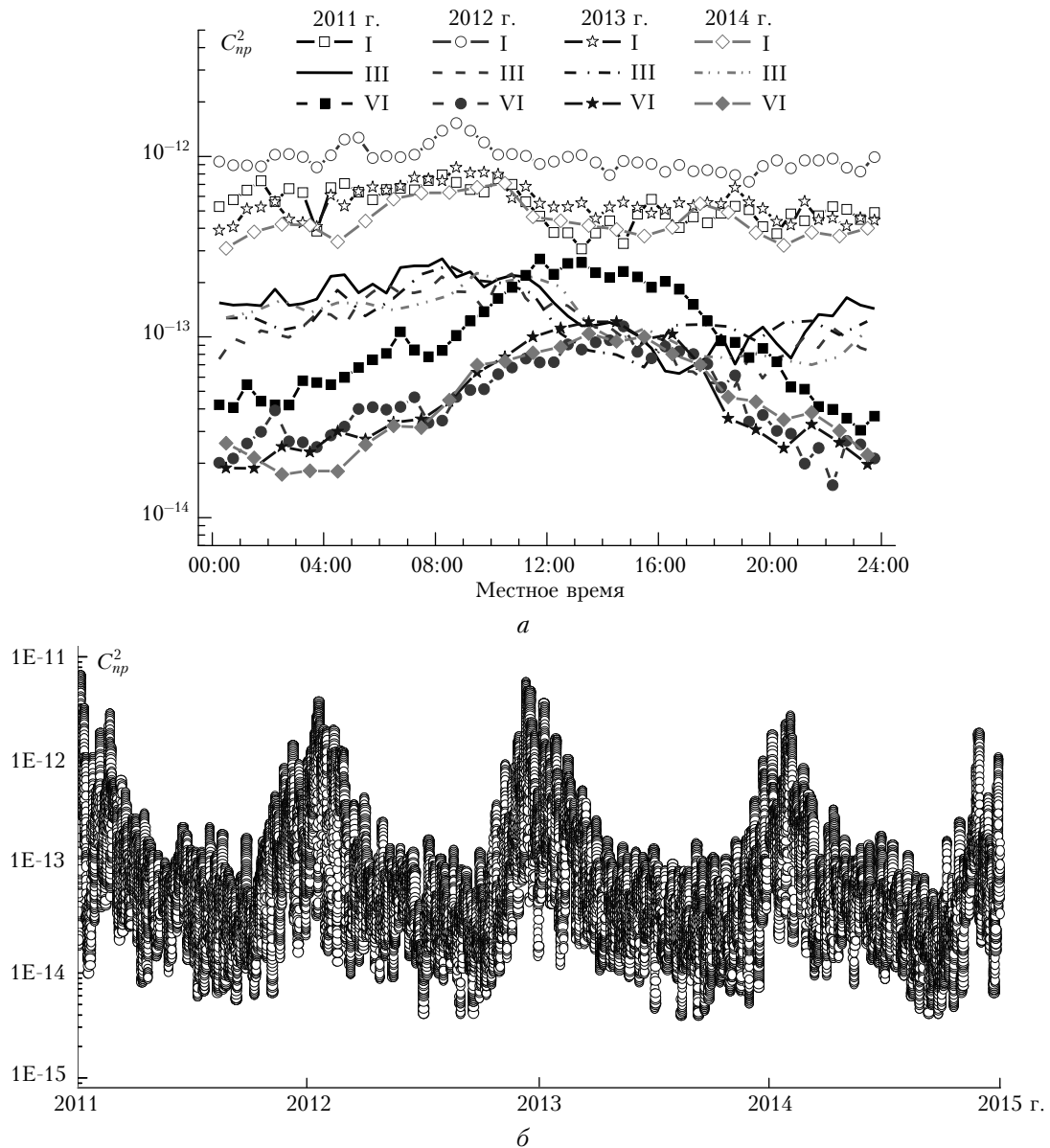


Рис. 4. Пункт наблюдения «Томск». Средний суточный ход C_{np}^2 (а); график изменения C_{np}^2 за период 2011–2014 гг. (б)

Первая особенность заключается в том, что величина C_{np}^2 в пункте «БЭК» меньше, чем в пункте «Томск». Это прежде всего касается холодного времени года (различие до двух порядков величины). Для подтверждения данного вывода на рис. 5, б показано сравнение C_{np}^2 в указанных пунктах с октября 2013 г. по август 2014 г. (при построении графика применено сглаживание скользящим средним с временным «окном» 12 ч).

Вторая особенность ССХ C_{np}^2 в пункте «БЭК» – наличие хорошо выраженных локальных минимумов в утренние и вечерние часы теплого времени года, которые практически отсутствуют в пункте «Томск». Более того, в ночное время значения C_{np}^2 в отдельные периоды на территориях с естественным ландшафтом могут быть сопоставимы по вели-

чине с дневными максимумами. Для иллюстрации данного вывода приведен рис. 6, а, на котором в форме круговой диаграммы представлены нормированные на свои максимумы ССХ $C_{np,N}^2$ в июле 2014 г. в пунктах «БЭК» и «Томск». В качестве примера сравнимости величин дневных иочных максимумов C_{np}^2 на рис. 6, а показан нормированный ССХ $C_{np,N}^2$ за короткий период в пункте «БЭК» (02–05.07.2014 г.). В этом эпизоде ночной максимум C_{np}^2 всего лишь на 30% меньше дневного. Над урбанизированной территорией («Томск») такие случаи практически не встречались.

Следует подчеркнуть, что отмеченные особенности ССХ C_{np}^2 в теплое время года в пункте «БЭК» характерны и для пункта «Фоновая» (естественный ландшафт). Это демонстрирует рис. 6, б,

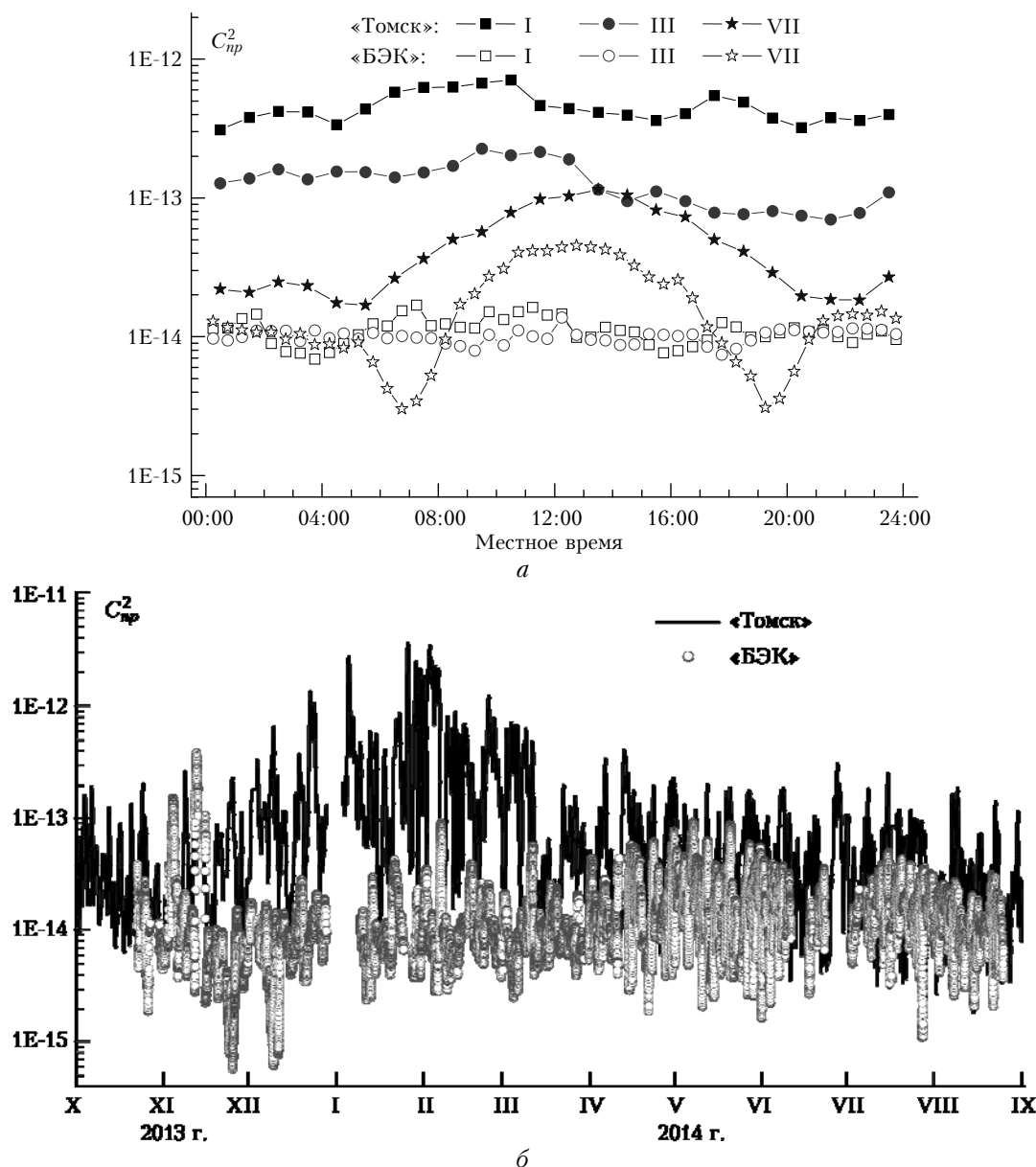


Рис. 5. Средний суточный ход C_{np}^2 для нескольких месяцев 2014 г. в пунктах наблюдения «Томск» и «БЭК» (а); изменения C_{np}^2 с октября 2013 г. по сентябрь 2014 г. в указанных пунктах (б)

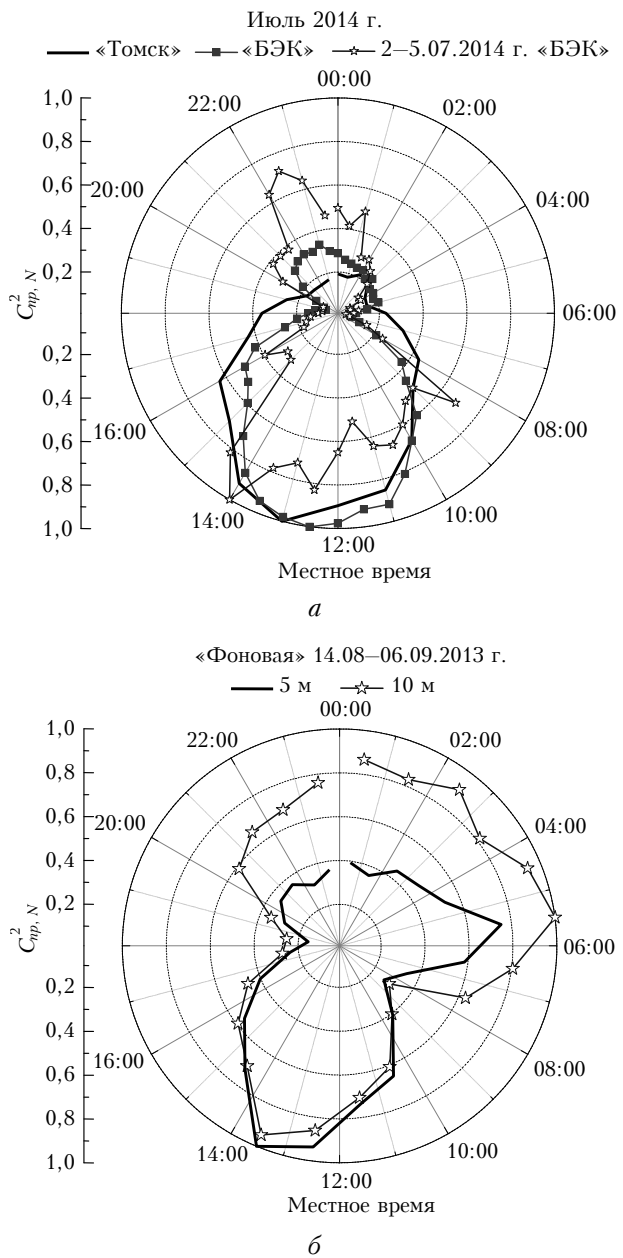


Рис. 6. Нормированные ССХ $C_{np,N}^2$ в пунктах наблюдения «Томск» и «БЭК» (*a*), «Фоновая» (*b*)

на котором представлены в виде круговых диаграмм нормированные ССХ $C_{np,N}^2$, полученные за период 14.08–06.09.2013 г. одновременно на высотах 5 и 10 м. Согласно данному рисунку в ночное время величины C_{np}^2 соизмеримы с дневными, особенно на высоте 10 м. При этом в утренние и вечерние часы в суточном ходе C_{np}^2 наблюдаются хорошо выраженные локальные минимумы. Отметим без иллюстраций, что СКО C_{np}^2 в данном пункте в дневное время по величине несколько меньше, чем собственно C_{np}^2 , а в ночное – больше (примерно в 2 раза).

Одновременные измерения C_{np}^2 на разных высотах в приземном слое атмосферы были проведены

нами в основном в пункте наблюдения «Фоновая» и только в теплое время года. При этом объем экспериментального материала не позволяет сделать какие-либо обобщающие выводы. Тем не менее можно сказать, что ССХ C_{np}^2 на разных высотах однотипен. Однако в дневное время величины C_{np}^2 на нижних уровнях измерений больше, чем на верхних (примерно в 2 раза). Ночью же они достаточно близки друг другу. Иллюстрацией может служить рис. 7, где представлены ССХ C_{np}^2 при одновременных измерениях на высотах 5 и 12 м (28.06–29.07.2010 г.); 5 и 10 м (26.06–18.07.2013 г. и 14.08–06.09.2013 г.).

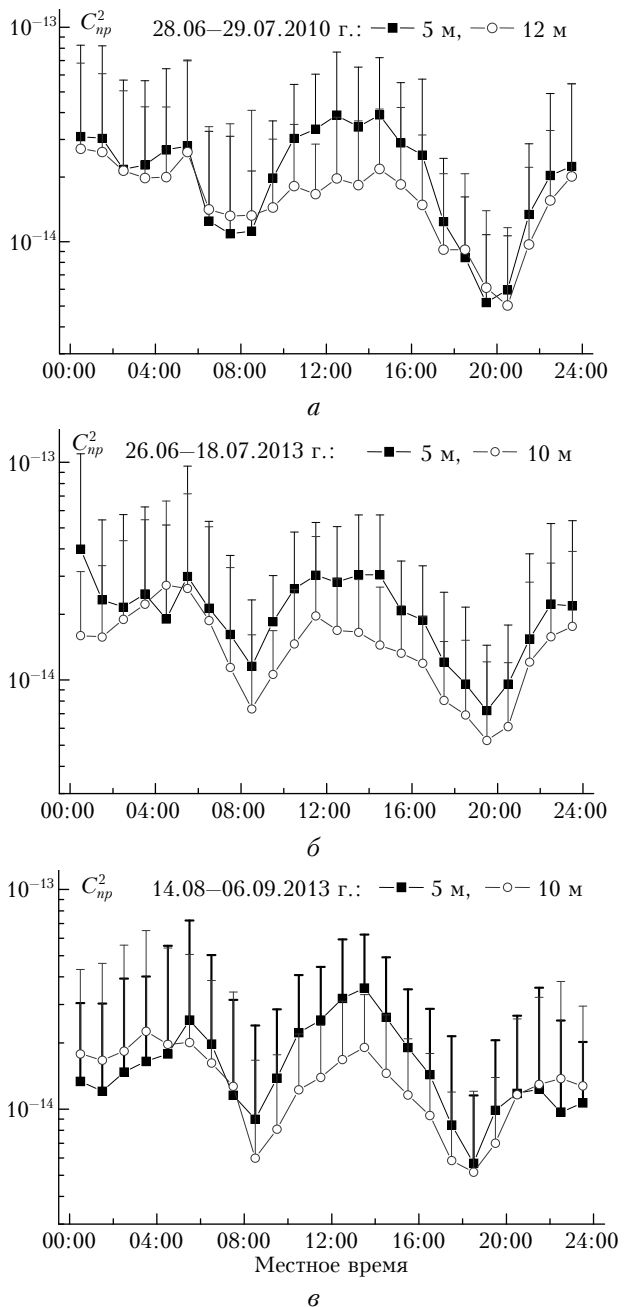


Рис. 7. Средний суточный ход C_{np}^2 на разных высотах и в разные годы в пункте наблюдения «Фоновая»

Величины СКО C_{np}^2 показаны на графиках «полутреками». Отметим, что графики ССХ C_{np}^2 на рис. 7, в в нормированном виде уже приводились на рис. 6, б (в форме круговых диаграмм).

Считаем необходимым также отметить, что в разных пунктах с естественным ландшафтом величина C_{np}^2 имеет примерно один и тот же диапазон изменений в совпадающие периоды разных лет. Это демонстрирует рис. 8. При построении данного рисунка использовано сглаживание скользящим средним с временным «окном» 24 ч.

Представленный выше материал по среднему суточному ходу C_{np}^2 в различных пунктах наблюдений в различные сезоны года хорошо согласуется с аналогичными данными по C_T^2 и C_n^2 , приведенными в работах [1–3, 7].

Завершая изложение полученных результатов, добавим, что мы провели предварительный анализ взаимосвязи C_{np}^2 с другими характеристиками турбулентности (дисперсиями, потоками, типом стратификации и т.п.). Отметим, в частности, возможность формулировки относительно простых эмпирических зависимостей C_{np}^2 от дисперсий температуры, вертикального турбулентного потока тепла и некоторых других статистических характеристик турбулентности. Однако для полноты картины требуются более детальный анализ и обобщение сделанных выводов, которые мы планируем опубликовать в дальнейшем.

Заключение

Подводя итог, можно сделать следующие основные выводы, касающиеся структурной ха-

рактеристики показателя преломления оптических волн C_n^2 и ее среднего суточного хода в приземном слое атмосферы (в пределах до 20 м).

— Имеет место систематическое отклонение (занижение) значений C_n^2 , полученных с использованием ультразвуковых анемометров-термометров, по сравнению с полученными оптическим дифференциальным измерителем турбулентности (примерно в 4 раза). При этом корреляция величин C_n^2 при измерениях акустическими и оптическими методами была высокой (коэффициент корреляции обычно превышал значение 0,8).

— Над урбанизированной территорией значение структурной характеристики C_n^2 заметно выше, чем над естественным ландшафтом, особенно в зимнее время.

— Имеет место существенное отличие среднего суточного хода C_n^2 в теплое и холодное время года: в теплое время имеется хорошо выраженный дневной максимум ССХ C_n^2 , в холодное (зимнее) время такого максимума нет.

— В теплое время года на территориях с естественным ландшафтом локальные максимумы ССХ C_n^2 имеются как днем, так и ночью.

— С увеличением высоты измерений значения C_n^2 в дневное время уменьшаются (вывод сделан на основе данных в теплое время года на территориях с естественным ландшафтом). Ночью существенной зависимости от высоты измерений нет.

Работа выполнена с использованием оборудования ЦКП «Атмосфера» ИОА СО РАН на территориях обсерваторий «БЭК» и «Фоновая».

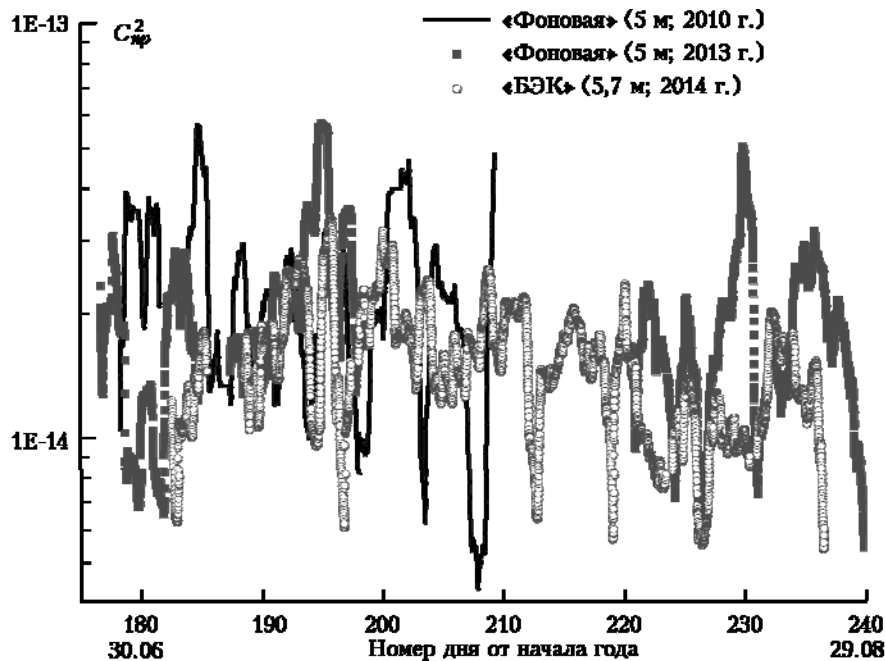


Рис. 8. Сравнение C_{np}^2 в разных пунктах наблюдений с естественным ландшафтом в различные годы в один и тот же период

1. Cheinet S., Beljaars A., Weiss-Wrana K., Hurtaud Y. The use of weather forecasts to characterise near-surface optical turbulence // Bound.-Lay. Meteorol. 2011. V. 138, N 3. P. 453–473.
2. Andreas E.L., Fairall C.W., Persson P.O.G., Guest P.S. Probability distribution for inner scale and refractive index structure parameter and their implications for flux averaging // J. Appl. Meteorol. Climatol. 2003. V. 42, N 9. P. 1316–1329.
3. Bendersky S., Kopeika N.S., Blaunstein N. Atmospheric optical turbulence over land in middle east coastal environments: Prediction modeling and measurements // Appl. Opt. 2004. V. 43, N 20. P. 4070–4079.
4. Ботыгина Н.Н., Ковадло П.Г., Копылов Е.А., Лукин В.П., Туев М.В., Шиховцев А.Ю. Оценка качества астрономического видения в месте расположения Большого солнечного вакуумного телескопа по данным оптических и метеорологических измерений // Оптика атмосф. и океана. 2013. Т. 26, № 11. С. 942–947.
5. Meijninger W.M.L., Hartogensis O.K., Kohsiek W., Hoedjes J.C.B., Zuurbier R.M., De Bruin H.A.R. Determination of area-averaged sensible heat fluxes with a large aperture scintillometer over a heterogeneous surface-flevoland field experiment // Bound.-Lay. Meteorol. 2002. V. 105, N 1. P. 37–62.
6. Beirich F., Bange J., Hartogenis O.K., Raasch S., Braam M., van Dinther D., Gräf D., van Kesteren B., van den Kroonenberg A.C., Maronga B., Martin S., Moene A.F. Towards a validation of scintillometer measurements: The LITFASS-2009 experiment // Boundary-Layer Meteorol. 2012. V. 144, N 1. P. 83–112.
7. Braam M., Bosveld F.C., Moene A.F. On Monin–Obukhov scaling in and above the atmospheric surface layer: The complexities of elevated scintillometer measurement // Bound.-Lay. Meteorol. 2012. V. 144, N 2. P. 157–177.
8. Braam M., Moene A. F., Beyrich F. Variability of the structure parameters of temperature and humidity observed in the atmospheric surface layer under unstable condition // Bound.-Lay. Meteorol. 2014. V. 150, N 3. P. 399–422.
9. Татарский В.И. Распространение волн в турбулентной атмосфере. М.: Наука, 1967. 548 с.
10. Гладких В.А., Невзорова И.В., Одинцов С.Л., Федоров В.А. Структурные функции температуры воздуха над неоднородной подстилающей поверхностью. Часть I. Типичные формы структурных функций // Оптика атмосф. и океана. 2013. Т. 26, № 11. С. 948–954.
11. Гладких В.А., Невзорова И.В., Одинцов С.Л., Федоров В.А. Структурные функции температуры воздуха над неоднородной подстилающей поверхностью. Часть II. Статистика параметров структурных функций // Оптика атмосф. и океана. 2013. Т. 26, № 11. С. 955–963.
12. van den Kroonenberg A.C., Martin S., Beirich F., Bange J. Spatially-averaged temperature structure parameter over a heterogeneous surface measured by an unmanned aerial vehicle // Bound.-Lay. Meteorol. 2012. V. 142, N 1. P. 55–77.
13. Распространение лазерного пучка в атмосфере / Под ред. Д. Стробена. М.: Мир, 1981. 416 с.
14. Гладких В.А., Макиенко А.Э. Цифровая ультразвуковая метеостанция // Приборы. 2009. № 7 (109). С. 21–25.
15. Аришнов М.Ю., Ботыгина Н.Н., Рейно В.В., Одинцов С.Л. Базовый экспериментальный комплекс // Материалы XVI Междунар. симпоз. «Оптика атмосферы и океана. Физика атмосферы». Томск: Изд-во ИОА СО РАН, 2009. С. 252–255.
16. Антошкин Л.В., Лавринов В.В., Лавринова Л.Н., Лукин В.П. Дифференциальный метод в измерении параметров турбулентности и скорости ветра датчиком волнового фронта // Оптика атмосф. и океана. 2008. Т. 21, № 1. С. 75–80.
17. Лукин В.П. Дифференциальный измеритель турбулентности // Фотоника. 2010. № 5. С. 16–23.
18. Лукин В.П., Ботыгина Н.Н., Емалеев О.Н., Антошкин А.В., Коняев П.А., Гладких В.А., Мамышев В.П., Одинцов С.Л. Одновременные измерения структурной характеристики показателя преломления атмосферы оптическим и акустическим методами // Оптика атмосф. и океана. 2011. Т. 24, № 10. С. 852–857.
19. Лукин В.П., Ботыгина Н.Н., Гладких В.А., Емалеев О.Н., Коняев П.А., Одинцов С.Л., Торгаев А.В. Сравнительные измерения уровня турбулентности атмосферы с помощью оптических и акустических измерителей // Оптика атмосф. и океана. 2015. Т. 28, № 2. С. 163–166.

V.A. Gladkikh, V.P. Mamyshev, S.L. Odintsov. **Experimental estimates of the structure parameter of the refractive index for optical waves in the surface air layer.**

The paper analyzes the structure parameter of the refractive index of optical waves C_n^2 in the surface air layer calculated from the structure parameter of the air temperature C_T^2 . The C_n^2 estimates obtained from data of an optical differential turbulence meter and ultrasonic anemometer-thermometers are compared. The systematic difference between these estimates at the high degree of correlation is noted. The diurnal mean profile of C_n^2 in different seasons at territories with natural landscape and urban territory is obtained and analyzed.